

## استفاده از فن آوري اسمز معکوس (RO) جهت حذف کروم از پساب صنایع آبکاري

دکتر میترا غلامی<sup>۱</sup>، حامد محمدی<sup>۲</sup>، دکتر احمد عامری<sup>۳</sup>، مرتضی رحیمی<sup>۴</sup>

- استادیار دانشکده بهداشت دانشگاه علوم پزشکی ایران، گروه مهندسی بهداشت محیط mitra326@yahoo.com

- مرتبی دانشکده بهداشت دانشگاه علوم پزشکی زنجان، گروه بهداشت محیط

- دانشیار دانشکده بهداشت دانشگاه علوم پزشکی ایران، گروه مهندسی بهداشت محیط

- دانشجوی کارشناسی دانشگاه علوم پزشکی ایران

### چکیده

**زمینه و هدف:** کروم از عناصر انتقالی گروه ۶ و بیست و یکمین عنصر فراوان در طبیعت است که بطور گسترده‌ای به دو حالت  $+3$  و  $+6$  ظرفیت وجود دارد. نوع شش ظرفیتی آن بسیار سی است. صنایع آبکاری سهم بسزایی در ورود کروم به داخل محیط زیست دارند. هدف از انجام این پژوهش تعیین راندمان حذف کروم از پساب صنایع آبکاری با استفاده از فرآیند غشایی اسمز معکوس است. همچنین در این پژوهش شرایط بهینه برای فرآیند غشایی جهت حذف کروم از پساب صنایع آبکاری مورد بررسی قرار گرفته است.

**روش بررسی:** روش انجام تحقیق با توجه به ماهیت آن بر پایه داده‌های آزمایشگاهی، از نوع مطالعات بنیادی- کاربردی است. در این پژوهش، ابتدا محلولهای کروم با غلظتهاي  $5$ ،  $10$ ،  $15$  و  $20$  میلی‌گرم در لیتر ساخته شد و از غشای اسمز معکوس با مدول مارپیچی مدل ۲۵۲۱TE ساخت شرکت CSM کره عبور داده شد. در این مرحله، تأثیر فشار عملیاتی، غلظت ورودی، دما و pH روی کارایی حذف کروم در هر غلظت، مورد بررسی قرار گرفته و تعیین شد.

**یافته‌ها:** نتایج حاصل از آزمایشات و اندازه‌گیریها نشان داد که شرایط بهینه سیستم در محدوده فشار  $\text{psi} = 0.01$ ، غلظت  $\text{L/g} = 0.05$ ، دما در محدوده  $25^{\circ}\text{C}$  ( $\alpha = 0.05$ ) و pH در محدوده  $6-7$  می‌باشد.

**نتیجه‌گیری:** راندمان حذف کروم از پساب صنایع آبکاری در شرایط بهینه عملکرد سیستم تا بیش از ۹۹ درصد اندازه گرفته شد. با مقایسه روش اسمز معکوس با سایر روشها، چنین به نظر می‌رسد که راندمان حذف توسط این روش مناسب است و میتواند در مقیاس میدانی بعنوان یک گزینه مؤثر بکار گرفته شود.

**کلید واژه‌ها:** حذف کروم، آبکاری، غشای اسمز معکوس (RO)  
وصول مقاله: ۸۶/۹/۸ اصلاح نهایی: ۸۶/۱۱/۲۹ پذیرش مقاله: ۸۶/۱۱/۱۹

### طبیعی و تولید انواع گوناگون زائدات با خطرات

بالقوه شدید برای انسان و محیط زیست هم زمان بوده است. در کنار گسترش صنایع، محدودیت منابع طبیعی و افزایش تقاضا برای مصرف مواد خام، لزوم استفاده بهینه از آنها را در

**مقدمه**  
توسعه اقتصادی و اجتماعی جوامع همراه با افزایش روز افزون جمعیت و در پی آن افزایش میزان و تنوع مواد مصرفی، ازدیاد و گوناگونی زائدات تولیدی را در پی داشته است. توسعه صنایع و کارخانه‌ها، با تهی سازی منابع

ضروري مي باشد. همچنين در جلوگيري از ديا بت خفيف و آترواسکلروزيس مؤثر است. در صورت وجود تركيبات آلي در خاک، منگنز و تركيبات آن، کروم سه ظرفويتي به کروم شش ظرفويتي تبديل مي گردد که برای انسان و محیط زیست خاطره آميز خواهد بود و در مقادير  $mg/1$   $10$  به ازاي هر کيلوگرم از وزن بدن باعث نکروز کيد، نفریت و مرگ مي شود. همچنان از دیگر عوارض کروم شش ظرفويتي میتوان به سلطان ریه و دستگاه گوارش اشاره کرد (۵). امروزه صنعت آبکاري یکی از صنایع است که مقادير قابل توجهی از کروم شش ظرفويتي را وارد محیط زیست می کند و با توجه به خاطرات بهداشتی که ایجاد می کند، لازم است تا روش تصفیه مناسب جهت حذف آن از پساب این صنعت انتخاب گردد (۶,۷). روشهاي متعددی برای حذف کروم از آب وجود دارد. به طور کلي اين روشها به روشهاي شيميايي (انعقاد و خته سازي)، رسوب دهي شيميايي (رسوب با آلوم، رسوب با ترکيبات آهن، سختي گيري با آهک و حذف با تركيبی از آهن و منگنز)، روشهاي بيولوژيکي، فرآيندهاي جذب سطحي (آلوميناي فعال و تبادل یون)، فرآيندهاي غشائي (روش اسمز معکوس و الکتروديالizer)، استخراج با حلal، تبخیر، تقطر و اجماد نام برد. يکي دیگر از روشها، سدینانتاسيون است. با روش تقطر، اجماد و استخراج مایع-مایع به ترتیب میتوان  $۹۰$  و  $۸۰$  درصد کروم را حذف و یا بازيافت نمود.

کنار حراست از منابع گرانبهای طبیعی ایجاب می کند و در این مسیر جلوگيري از آلودگی منابع طبیعی، از اولین گامهای اساسی در حفظ این منابع است (۱).

امروزه در جوامع رو به توسعه پسابهای صنعتی بدون انجام تصفیه و یا تصفیه نامطلوب به محیط زیست دفع می گردد و در هر منطقه مشکلات زیادي را بوجود آورده اند. پساب تولیدی در هر صنعت ویژگیهای خاص خود را دارد و همین امر موجب ورود آلاینده‌های متنوع به محیط زیست می شود (۲).

کروم از عناصر انتقالی گروه  $6$  و بیست و یکمین عنصر فراوان در طبیعت است که بطور گستردۀ ای به دو حالت  $+3$  و  $+6$  ظرفويتي وجود دارد. این عنصر در حالت سه ظرفويتي از عناصر حياتی بوده و در مقادير جزئی در گیاهان و جانوران یافتد می شود. نوع شش ظرفويتي آن بسيار سمي است و سلطان زايی آن به اثبات رسیده است. اغلب سنگها و خاکها حاوي مقادير قابل توجهی کروم به صورت شش ظرفويتي هستند. علاوه بر منشاء طبیعی، مقادير قابل توجهی از کروم از طريق صنایع چرم و دباغی، شیشه سازی، فيلم سازی، کود شيميايي، متالوژي، ذوب فلزات، رنگ و لعاب، صنعت الیاژي و آبکاري وارد محیط زیست می شود که در این خصوص پساب صنایع آبکاري سهم بسزایی دارد (۳,۴).

کروم در طبیعت بصورت کروم سه ظرفويتي یافت می شود. وجود کروم سه ظرفويتي برای متابوليسم چربیها و گلوکز و همچنان در مصرف آمينو اسیدها

ساخته شد. این پایلوت، شامل خزن فاضلاب ورودی، فیلتر کارتیریج کربن فعال برای حذف کلر، غشاء اسمز معکوس، الکتروپیمپ برای تامین فشار اسمزی، بارومتر برای تنظیم فشار در ورودی و خروجی، فلومتر برای اندازه‌گیری جریان ورودی می‌باشد. نمودار ۱ نشان دهنده شای کلی از پایلوت مورد استفاده است. جهت راه اندازی سیستم، پس از طراحی و ساخت پایلوت ابتدا فلاکس اولیه آب مقطر در فشارهای  $100\text{ psi}$ ،  $120\text{ psi}$ ،  $150\text{ psi}$ ،  $170\text{ psi}$  و  $200\text{ psi}$  در شرایط دمایی  $25^\circ\text{C}$  اندازه‌گیری و محاسبه گردید. سپس سیستم با فشارهای مورد نظر راه اندازی شد. پس از به دست آوردن فشار بهینه ( $200\text{ psi}$ )، تغییرات دما، غلظت و pH مورد بررسی قرار گرفت و pH، غلظت و دمای بهینه تعیین شد.

در مرحله بعدی، با بدست آوردن دبی عبوری و همچنین با داشتن سطح فعال غشاء ارائه شده توسط کارخانه سازنده، میزان فلاکس عبوری ( $Q/A$ ) از غشاء اندازه‌گیری شد ( $8\%$ ). لازم به ذکر است که برای تعیین دبی ورودی از فلومتر استفاده شد. جهت محاسبه دبی خروجی، حجم مشخصی از جریان عبوری از غشاء، در یک زمان مشخص توسط کرنومتر و استوانه مدرج اندازه‌گیری شد. برای محاسبه راندمان سیستم، پس از تعیین غلظت ورودی محلول کروم در غشاء و غلظت خروجی، بواسیله رابطه زیر راندمان حذف بدست آمد.

هدف از این پژوهش بکارگیری سیستم غشایی اسمز معکوس جهت حذف کروم از پساب صنایع آبکاری و مقایسه این روش با دیگر روشهای بکار گرفته شده همچون ته نشینی، جذب سطحی، گواگولاسیون و روشهای بیولوژیکی است. همچنین در این پژوهش تأثیر عوامل مختلف همچون فشار، دما، pH و غلظت بر راندمان سیستم RO مورد بررسی قرار می‌گیرد.

### روش بررسی

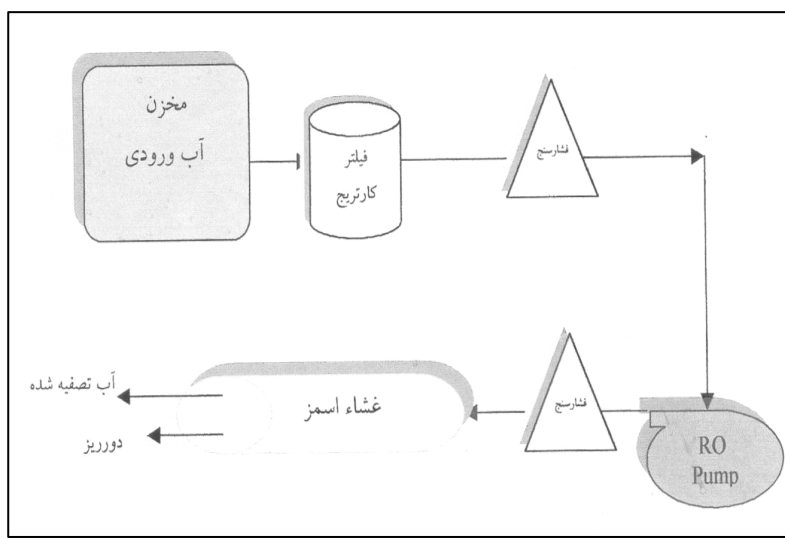
روش انجام تحقیق با توجه به ماهیت آن بر اساس داده‌های آزمایشگاهی و یک سیستم عملی و اجرایی از نوع مطالعات تجربی و توسعه‌ای بوده است. روش آماری مورد استفاده به منظور تعیین تعداد نمونه‌ها، روش Box-Benken از طریق نرم افزار Design Expert ver.7.0.1 بوده است. بر اساس متغیرهای وابسته و مستقل و با در نظر گرفتن ضریب  $\alpha=0.05$ ، تعداد نمونه‌های مورد نیاز برای آنالیز آماری چند متغیره (فشار، دما، pH و غلظت) برابر با  $30$  نمونه بوده است، که انجام آزمایشات در هر دوره (run) به صورت triple (سه تایی) انجام شده است (روی هم  $90$  نمونه). تستهای آماری انجام شده، رگرسیون و می‌باشد.

در ابتدا پس از بررسی پساب صنایع آبکاری و جمع‌آوری داده‌ها، غلظت متوسط کروم در این صنایع (در حدود  $10\text{ g/L}$ ) مشخص گردید که این مقدار، به عنوان غلظت عبوری کروم از پایلوت در نظر گرفته شد. برای انجام این پژوهش، ابتدا پایلوت غشاء طراحی و

$$\text{راندمان حذف} = \frac{C_1 - C_2}{C_1} \times 100$$

$C_1$  = خلخت ورودی

$C_2$  = خلخت خروجی



نمودار ۱: نمودار ساده جریان در پایلوت مورد استفاده

نمونه با غلظتهاي ۱ ، ۵ ، ۱۰ ، ۱۵ و ۲۰ گرم بر لیترکروم در شرایط موردنظر از غشاء اسمز معکوس عبور داده شد. همچنین با درنظر گرفتن دماهاي  $15^{\circ}\text{C}$  ،  $20^{\circ}\text{C}$  ،  $25^{\circ}\text{C}$  ،  $30^{\circ}\text{C}$  و  $35^{\circ}\text{C}$  که توسط بیچال و هیتر ترموموکوپل دار تنظیم گردید و در شرایط عملیاتی بیان شده در بالا، تأثیر دما بر عملکرد غشاء موردن بررسی قرار گرفت. با تغییر pH در مقادیر  $4/5$  ،  $5/5$  ،  $6/5$  ،  $7/5$  ،  $8/5$  تأثیر pH بر عملکرد غشاء تعیین شد. در تمام مراحل، میزان جذب در طول موج ۵۴۰ نانومترتوسط

جهت بررسی تأثیرپذیر، محلول کروم با غلظت ۱۰ گرم در لیتر با استفاده از آب مقطر تهیه گردید و در شرایط بهینه بدست آمده، ( $\text{pH}=7$  و  $T=25^{\circ}\text{C}$ ) در فشارهای مختلف در نظر گرفته شده (  $100\text{psi}$  ،  $120\text{psi}$  ،  $150\text{psi}$  ،  $170\text{psi}$  و  $200\text{psi}$  ) از غشاء اسمز معکوس عبور داده شد و در هر مرحله پس از اندازهگیری میزان جریان و فلاکس در یک فاصله زمانی (  $40$  تا  $60$  دقیقه)، بر روی نمونههای برد اشته شده آزمایش صورت گرفت.

برای تعیین ارتباط تغییرات غلظت و راندمان حذف، محلول

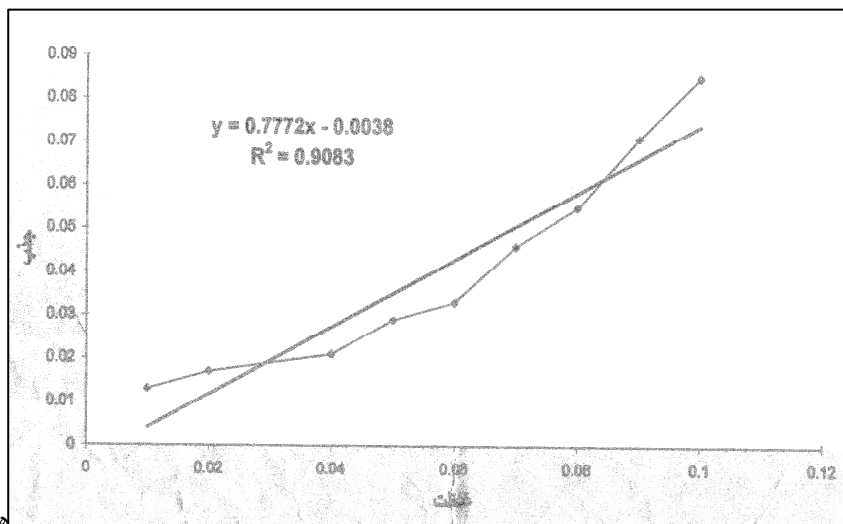
شیمیایی مربوط به آزمایش و اندازه‌گیری کروم به روش رنگ سنجی، مطابق با دستورالعمل استاندارد متده و تهیه نمونه سنتیک آب مقطر با غلظتهاي مختلف کروم جهت عبور از پایلوت میباشد (۱۰,۱۱).

نمودار ۲ نشان دهنده منحی استاندارد برای اندازه‌گیری کروم میباشد.

اسپکتروفوتومترپرکین-الر دبل بیم UV-VIS مدل ۵۵۰S ساخت امریکا خوانده شد (استاندارد متده ۳۵۰Cr-D) و راندمان حذف کروم در شرایط مختلف بدست آمد.

سپس نمودارهای مربوط به تغییرات کارایی و فلاکس جریان نسبت به هر یک از شرایط فوق رسم گردید.

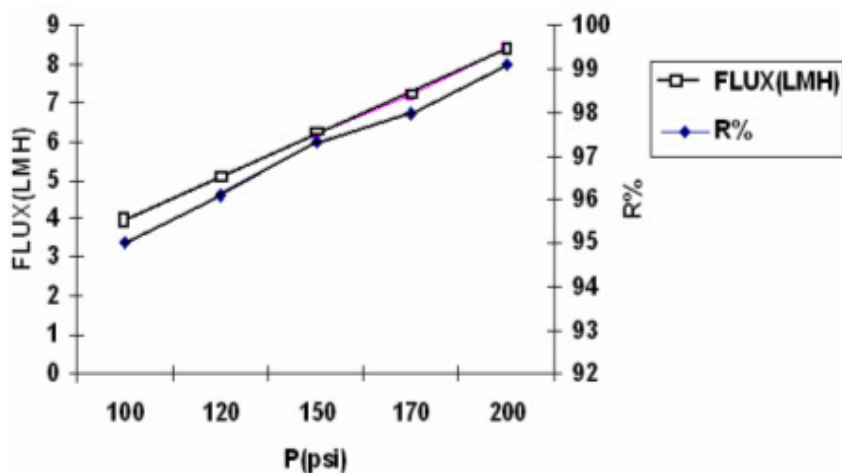
مواد مورد استفاده در این تحقیق عمدتاً مواد و معرفهای



**یافته ها**

نتایج حاصل از آزمایشات و اندازه‌گیریها نشان داد که شرایط بهینه سیستم در محدوده فشار  $200 \text{ psi}$  ( $\alpha = 0.01$ )، غلظت  $10 \text{ g/L}$  ( $\alpha = 0.05$ )، دما در محدوده  $25^\circ\text{C}$  ( $\alpha = 0.05$ ) و  $\text{pH}$  در محدوده  $6-7$  میباشد.

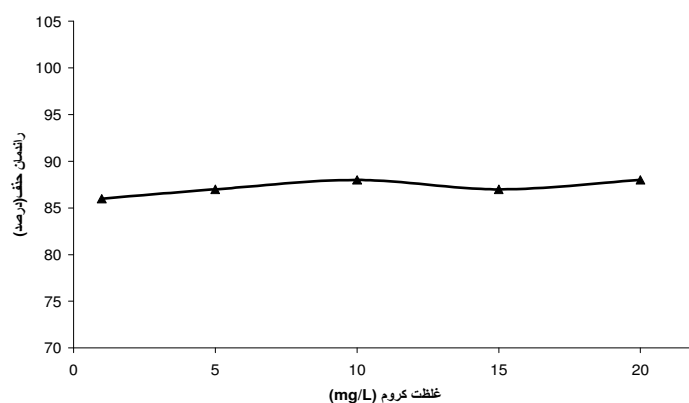
تغییرات فشار بر کارایی غشاء در حذف کروم و همچنین فلاکس عبوری از غشاء، در شرایط در نظر گرفته شده، میباشد. همانطوری که از نمودار مشخص است، با افزایش فشار، فلاکس جریان نیز افزایش مییابد.



نمودار ۳: تأثیر تغییرات فشار بر روی کارایی حذف کروم و فلاکس عبوری از غشاء اسمز معکوس  
( $C=10\text{g/L}$ ,  $T=25^\circ\text{C}$ ,  $\text{pH}=7$ )

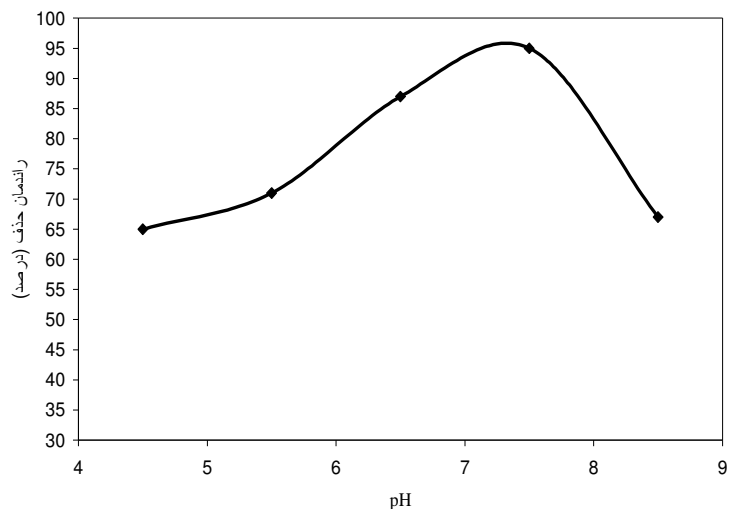
است. با افزایش غلظت در یک فشار و دبی معین، میزان فلاکس ثابت باقی میماند.

تأثیر غلظت بر روی راندمان حذف در نمودار ۴ آورده شده است. همچنین ارتباط بین تغییرات فلاکس جریان و غلظت کروم در محلول آبی در شکل، آورده شده



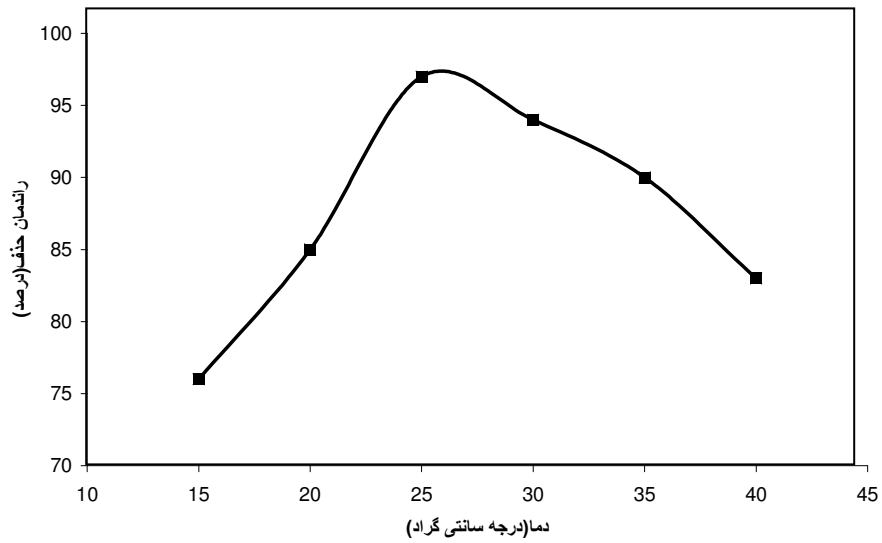
نمودار ۴: تغییرات راندمان حذف کروم از محلول ورودی با تغییر غلظت محلول ورودی توسط غشاء اسمز معکوس  
( $P=200\text{psi}$ ,  $T=25^\circ\text{C}$ ,  $\text{pH}=7$ )

نمودار ۵ نمایانگر ارتباط بین  $\text{pH}$  محلول و راندمان حذف کروم توسط RO است.



نمودار ۵: تغییرات راندمان حذف کروم توسط غشاء اسیز معکوس با تغییرات pH محلول ورودی ( $P=۲۰۰\text{psi}$ ،  $T=۲۵^{\circ}\text{C}$ ،  $C=۱۰\text{g/L}$ )

نمودار ۶ نمایانگر تغییرات راندمان حذف کروم نسبت به افزایش درجه حرارت میباشد. با توجه به شکل، با افزایش دما میزان فلاکس جریان افزایش



نمودار ۶: تغییرات راندمان حذف کروم با تغییر دمای محلول ورودی توسط غشاء اسیز معکوس ( $P=۲۰۰\text{psi}$ ،  $C=۱۰\text{g/L}$ ،  $pH=۷$ )

با توجه به نتایج به دست آمده، کارایی حذف کروم با

جث

بنتونیت صورت گرفت، درصد حذف کروم با استفاده از ۵ گرم بنتونیت بیش از ۹۹٪ بوده است (۱۸). در ارزیابی بیوراکتورها نیز میزان حذف کروم از پساب صنایع آبکاری توسط باکتریها %۹۰ و توسط قارچها ۶۴٪ برآورد شده است (۱۹). بنابر این با توجه به نتایج بدست آمده و مقایسه آن با این پژوهش، میتوان چنین بیان کرد که روش اسمز معکوس راندمان بالاتری نسبت به روشاهی دیگر حذف کروم از پساب صنایع آبکاری از جمله روشاهی ته نشینی، کواگولاسیون، بیولوژیکی، جذب سطحی و نانوفیلتراسیون دارد. همچنین سیستم غشایی اسمز معکوس در حذف کروم از پساب صنایع آبکاری به طور قابل ملاحظه ای مؤثر میباشد.

با توجه به نتایج بدست آمده که در نمودار (۳) نشان داده شده است، ملاحظه گردید که با افزایش فشار در سیستم RO، میزان فلاکس عبوری از سطح غشاء بر حسب لیتر بر متر مربع در ساعت و همچنین درصد حذف کروم افزایش مییابد  $\alpha=0.01$ ,  $r=0.878$ . دلیل این امر کاهش قطر منافذ سطح غشاء به واسطه تجمع کروم، نسبت به زمان است. همچنین میزان فشار مؤثر محلول عبوری از غشاء عامل تعیین کننده مقدار محلول نفوذی بوده و افزایش فشار، افزایش فلاکس محلول نفوذی را به دنبال خواهد داشت ( $\alpha=0.01$ ,  $r=0.833$ ). البته با افزایش فشار بیش از حد مشخص مقاومت غشاء هم زیاد میشود. نتایج به دست آمده از مطالعاتی که روی کارایی حذف کروم توسط

استفاده از روش اسمز معکوس بیش از ۹۹ درصد میباشد. راندمان حذف کروم توسط روشاهی دیگری مانند روش تبادل یون در بازیافت کروم ۹۹٪ درصد بوده است (۱۱). همچنین با کاربرد قارچها در حذف بیولوژیکی کروم از فاضلاب صنایع چرم سازی که در آن از سه گونه قارچ به نامهای آسپرژیلوس نایگر، آسپرژیلوس آریزا استفاده شده است، با در نظر گرفتن مناسبترین غلظت کروم و بهترین میزان تلقیح، میزان حذف کروم به ترتیب  $93/8$ ,  $92/4$  و  $81/3$  درصد بوده است (۹). میزان کاهش کروم در پساب صنایع آبکاری توسط فرآیند ته نشینی نیز  $83/2$  درصد بوده است (۱۲).

همچنین درصد حذف کروم از پساب صنایع آبکاری با استفاده از دانه های کلسیم الگینیت حاوی اسید هیومیک حدود ۵۴٪ (۱۳)، و بواسیله کواگولاسیون شیمیایی ۷۴-۹۹ درصد بدست آمده است (۱۴). در ارزیابی دیگری میزان حذف کروم با استفاده از زائدات بیولوژیکی و ورمیکولیت ۹۴٪ بود (۱۵). درصد حذف کروم بواسیله سه نوع کربن فعال شامل C1 تولید شده از صنایع شکر و C2 و C3 (کربن فعال گرانولی) نیز به  $93\%$ ,  $98/86\%$  و  $98/6\%$  ترتیب شده است (۱۶). طی برآورد شده است (۱۶). تحقیقات دیگری درصد حذف کروم بواسیله قارچ گونه آسپرژیلوس از پساب صنایع آبکاری حدود ۷۰٪ بوده است (۱۷). همچنین در بررسی که بر روی حذف کروم از فاضلاب صنایع آبکاری بواسیله جذب روی

راندمان حذف و فلاکس جریان میباشد ( $\alpha = 0.05$ ،  $r=0.307$ ) (۲۵). در مورد تأثیر pH، لازم به ذکر است که میزان بار سطحی غشاء تابع جنس غشاء، pH و قدرت یونی محلول جاوار با غشاء است. بیشترین میزان فلاکس نفوذی و نیز بیشترین میزان قدرت نگهدارندگی غشاء را زمانی میتوان انتظار داشت که بار الکتریکی سطح غشاء با بار الکتریکی مولکولهای حل شده همنام باشد (۲۶). با توجه به نودار ۵، بهترین محدوده pH بین ۶-۷ میباشد. افزایش pH از حد مشخصی، سبب کاهش راندمان حذف میگردد.

با توجه به نودار (۶) با افزایش دمای محلول ورودی به غشاء در ابتدا میزان فلاکس عبوری افزایش میابد. البته تغیرات فلاکس جریان تا محدوده ای ادامه میابد، سپس منحنی به صورت خط افقی در میآید. به عبارتی جنس غشاء عامل محدود کننده تأثیر دما روی افزایش فلاکس میباشد.

### نتیجه‌گیری

با توجه به نتایج بدست آمده میتوان بیان کرد که راندمان حذف کروم از پساب صنایع آبکاری در شرایط بهینه عملکرد سیستم تا بیش از ۹۹ درصد بوده است، که با مقایسه روش اسمز معکوس با سایر روشها، چنین به نظر میرسد که راندمان حذف توسط این روش مناسب بوده و میتواند در مقیاس میدانی به عنوان یک گزینه مؤثر بکار گرفته شود.

### تشکر و قدردانی

سیستم غشایی اسمز معکوس در مقیاسهای پایلوت و صنعتی انجام شده است، نشان دهنده کاهش قابل توجه میزان کروم پس از عبور فاضلاب صنعت آبکاری حاوی کروم با غلظت بالا از غشای اسمز معکوس تا حد رسیدن غلظت آن به میزانی که بتوان پساب شهری کرد ( $5\text{mgCr}^{+6}/\text{l}$ ) (۲۰,۲۱). با توجه به نتایج به دست آمده، سیستم در فشارحدود ۲۰۰psi بهترین کارایی را خواهد داشت ( $\alpha=0.01$ ).

همانطوری که در نودار ۴ مشاهده میگردد، افزایش غلظت کروم تا حدود ۱۰ گرم در لیتر سبب افزایش فلاکس جریان و میزان حذف کروم میشود. با افزایش غلظت از ۲۰ گرم در لیتر، راندمان حذف و فلاکس جریان دیگر روند افزایشی نداشته و ثابت باقی میماند که این امر به واسطه کاهش اندازه منافذ سطح غشاء به دلیل تجمع کروم میباشد. در همین رابطه بررسی‌هایی در مورد اثرات غلظت و فشار بر فلاکس عبوری از غشاء در حذف رنگ از صنایع نساجی با استفاده از نانوفیلتراسیون برای استفاده مجدد از فاضلاب صنایع نساجی صورت گرفته است (۲۲,۲۳). همچنین پژوهشهايی که در زمينه تأثیر افزایش فشار بر روی راندمان حذف مواد رنگزا و آرسنیک انجام شده است (۸,۲۴). بررسی دیگري که در زمينه تأثیر غلظت در کاربرد نانوفیلتراسیون در کاهش رنگ از صنایع نساجی صورت گرفته است، نیز نشان دهنده تأثیر ناچیز تغییرات غلظت روی

مقاله مراتب تقدیر و تشکر خود را از مسئولین آن مرکز و کلیه پرسنل محترم آزمایشگاه آب و فاضلاب دانشکده بهداشت ابراز می‌دارد.

این تحقیق با استفاده از همایت مالی دانشگاه علوم پزشکی و خدمات بهداشتی-درمانی ایران در قالب طرح تحقیقاتی انجام گردیده است که بدین وسیله نویسنده‌گان

### منابع

۱. مصطفی‌پور، کرد. حذف ارسنیک آب آشامیدنی با استفاده از پراکسید هیدروژن و کلراید فریک. جمجمه مقاالت ششمین همایش کشوری بهداشت محیط، ۱۳۸۲.
2. Nemerow, NL. Industrial and hazardous waste treatment. 2<sup>nd</sup> edit. VNR, Consulting Editorial board. New York, 1991. p. 409-5.
۳. باریک بین، بهنام. بررسی وضعیت کیفی و کمی کروم در منابع آب آشامیدنی شهر بیرونی و ارائه راه حل مناسب حذف آن. پایان نامه کارشناسی ارشد، تهران: گروه مهندسی بهداشت محیط، دانشگاه تربیت مدرس، ۱۳۷۷.
4. WHO, UNEP. Environmental health criteria, 61 chromium. WHO, 1988.
۵. نوری سپهر، محمد. کاربرد قارچها در حذف بیولوژیکی کروم در فاضلاب صنایع چرم سازی. پایان نامه دکتری (Ph.D), تهران: گروه مهندسی بهداشت محیط دانشکده بهداشت دانشگاه تهران، ۱۳۸۰.
۶. مجذیا فریدون، خواجه نصیری ناصر. آبکاری فلزات. چاپ اول، تهران: انتشارات جهاد دانشگاهی، ۱۳۸۲.
۷. عزیز محمد، شاهین. بررسی جذب میکروبی پساب صنایع آبکاری. پایان نامه کارشناسی ارشد، تهران: گروه مهندسی شیمی دانشکده مهندسی شیمی دانشگاه علم و صنعت ایران، ۱۳۷۸.
۸. مختاری میراحمد. استفاده از فن آوری اسز معکوس جهت حذف ارسنیک از آب آشامیدنی. پایان نامه کارشناسی ارشد، تهران: گروه بهداشت محیط دانشکده بهداشت دانشگاه علوم پزشکی ایران، ۱۳۸۴.
۹. موسوی بتول. شیمی آزمایشگاهی آب و فاضلاب. چاپ اول، تهران: انتشارات سر، ۱۳۸۴.
10. Sapha, Awwwa, Wpcf. Standard methods for water and wastewater examination. 21th ed. Joint Editorial board, Washington DC, 2001, 3-90- 3-93.
11. اسی نعمت الله. جلوگیری از اتلاف کروم در صنعت آبکاری و بررسی امکان بازیافت آن به روش تبادل یون. پایان نامه کارشناسی ارشد، تهران: گروه بهداشت محیط دانشکده بهداشت دانشگاه علوم پزشکی تهران، ۱۳۷۸.
12. Song Z, Williams CJ, Edyvean RGJ. Sedimentation of tannery wastewater. Water Res 2000; 34: 2171-76.
13. Pandey AK, Pandey SD, Misra V, Srimal AK. Removal of chromium and reduction of toxicity to microtox system from tannery effluent by the use of calcium alginate beads containing humic acid. Chemosphere 2003; 51: 329-333.
14. Song Z, Williams J, Edyvean RGJ. Treatment of tannery wastewater by chemical coagulation. Desal 2004; 164: 249-59.
15. Sumathi KMS, Mahimairaja S, Naidu R. Use of low-cost biological wastes and vermiculite for removal of chromium from tannery effluent. Bioresource Technol 2005; 96: 309-31.
16. Fahim NF, Barsoum BN, Eid AE, Khalil MS. Removal of chromium(III) from tannery wastewater using activated carbon from sugar industrial waste. J Hazardous Materials 2006; 136: 303-9.
17. Srivastava S, Thakur IS. Isolation and process parameter optimization of *Aspergillus* sp. for removal of chromium from tannery effluent. Bio-Resource Technol 2006; 97: 1167-73.
18. Tahir SS, Naseem R. Removal of Cr (III) from tannery wastewater by adsorption onto bentonite clay. Separation and Purification Technol. 2006; 47: 457-471.
19. Srivastava S, Ahmad AH, Thakur IS. Removal of chromium and pentachlorophenol from tannery effluents. Bioresource Technol 2007; 98: 1128-32.

20. Hafez A, El-Manharawy MS, Khedr MS. RO membrane removal of unreacted chromium from spent tanning effluent. A pilot-scale study, Part 2[J]. Desalination 2002; 163: 345-58.
21. Hafez A, Manharawy SE. Design and performance of the two-stage/two-pass RO membrane system for chromium removal from tannery wastewater. Part 3. Desalination 2004; 165: 141-151.
22. Koyuncu I. Reactive dye treatment in dye/salt mixtures by nanofiltration membranes containing vinylsulphone dyes: Effects of feed concentration and cross flow velocity. Desalination 2002; 143: 243-53.
23. Tang C, Chen V. Nanofiltration of textile wastewater for water reuse. Desalination 2003; 143: 11-20.
24. Gholami M, Nasseri S, Alizadeh-Fard M, Matssura T, Feng C, Kulbi M. Textile dye removal by membrane technology and biological oxidation. Water Qual Res J Canada 2003; 38: 379-391.
25. Bruggen V, Daems B, Wilms D, Vandecasteele C. Mechanisms of retention and flux decline for the nanofiltration of dye baths from the textile industry. Separation and Purification Technol 2001; 22-23: 519-28.